

S P R A W O Z D A N I E
Z POMIARÓW PÓL ELEKTROMAGNETYCZNYCH
WYKONANYCH DLA CELÓW OCHRONY ŚRODOWISKA

LBMT/033/06/23/PEM/OS

OBIEKT	Instalacja radiokomunikacyjna
NR / NAZWA STACJI	BT44822 GDA_BRZEŻNO
ADRES STACJI	ul. Gdańska 12, Gdańsk
GMINA	m. Gdańsk
POWIAT	m. Gdańsk
WOJEWÓDZTWO	pomorskie

Sporządzający sprawozdanie	mgr inż. Kinga Kowalska	<i>Kowalska</i>
Autoryzacja	inż. Michał Moliński	<i>M</i>

Data pomiarów: 12-06-2023

**ZA ZGODNOŚĆ
Z ORYGINAŁEM**

SPIS TREŚCI

1. Informacje ogólne
2. Parametry źródeł PEM
 - 2.1. Anteny sektorowe
 - 2.2. Anteny radioliniowe
3. Opis zestawu pomiarowego
 - 3.1. Miernik natężenia pola elektromagnetycznego
 - 3.2. Miernik temperatury i wilgotności względnej powietrza
 - 3.3. Dalmierz laserowy
 - 3.4. Wyznaczanie współrzędnych geograficznych
4. Podstawa prawna
5. Metodyka wykonywania pomiarów
6. Wyniki pomiarów
7. Stwierdzenie zgodności z wymaganiami

1. INFORMACJE OGÓLNE

Prowadzący Instalację	Towerlink Poland Sp. z o.o., 01-211 Warszawa, ul. Marcina Kasprzaka 4
Zleceniodawca	ATEM Polska, ul. Łużycka 2, 81-537 Gdynia
Przedstawiciel zleceniodawcy	Katarzyna Dąbrowska
Miejsce instalacji anten	Maszty antenowe na dachu budynku
Miejsce instalacji urządzeń	Kontener techniczny
Nazwiska osób wykonujących pomiary	Piotr Butkiewicz, pracownik techniczny
Poinformowanie o pomiarach z min. 3-dniowym wyprzedzeniem	Nie dotyczy (w związku z art. 31 ustawy z dnia 16 kwietnia 2020 r. (Dz. U. 2020 poz. 695))
Data i godzina wykonania pomiarów	12-06-2023, 12:00-13:00
Temperatura otoczenia [°C]	21,4 - 21,7
Wilgotność względna [%]	36,5 - 35,9
Opady atmosferyczne	Brak opadów
Parametry badanego obiektu	Identyfikacja źródeł i parametrów technicznych na podstawie dokumentacji technicznej oraz na podstawie obserwacji i informacji udzielonych przez Zleceniodawcę
Inne źródła pól elektromagnetycznych	Stwierdzono występowanie źródeł pól elektromagnetycznych, pochodzących od operatorów T-Mobile, Play, które w zakresie badanych częstotliwości mogą bezpośrednio wpływać na wynik wartości mierzonej
Data opracowania	13-06-2023

2. PARAMETRY ŹRÓDEŁ PEM

Konfiguracja anten sektorowych oraz radioliniowych została przekazana przez zleceniodawcę.

2.1. Anteny sektorowe

Charakterystyka promieniowania			kierunkowa					
Rzeczywisty czas pracy [h/dobę]			24					
Warunki pracy			znamionowe					
Lp.	Częstotliwość lub zakresy częstotliwości pracy	Typ/producent anteny	Liczba anten	Azymut	Średni kąt pochylenia	Zakres kątów pochylenia	Wysokość środka elektr. anteny	EIRP
-	[MHz]	-	-	[°]	[°]	[°]	[m n.p.t.]	[W]
1	1800/2100/2600/900	120345/ CellMax	1	90	6/6/6/6	2-10/2-10/ 2-10/2-12	36,75	17338
2	1800/2100/2600/900	120345/ CellMax	1	190	6/6/6/6	2-10/2-10/ 2-10/2-12	36,75	17338
3	1800/2100/2600/900	120345/ CellMax	1	292	6/6/6/6	2-10/2-10/ 2-10/2-12	36,75	17338
4	2600	120115/ CellMax	1	90	6	2-10	36,70	16433
5	2600	120115/ CellMax	1	190	6	2-10	36,70	16433
6	2600	120115/ CellMax	1	292	6	2-10	36,70	16433

2.2. Anteny radioliniowe

Charakterystyka promieniowania			kierunkowa					
Rzeczywisty czas pracy [h/dobę]			24					
Warunki pracy			znamionowe					
Lp.	Typ / producent anteny	Wysokość środka elektr. anteny	Azymut	Częstotliwość pracy	Moc wyjściowa nadajnika	Zysk energetyczny	Średnica	EIRP
		[m n.p.t.]	[°]	[GHz]	[dBm]	[dBi]	[m]	[W]
1	UKY 220 69/SC15/ Ericsson	39,9	318	23	17	36,2	0,3	208,9

3. OPIS ZESTAWU POMIAROWEGO

3.1. Miernik natężenia pola elektromagnetycznego

Uniwersalny szerokopasmowy miernik natężenia pola elektromagnetycznego produkcji Narda Safety Test Solution typu NBM-520, nr seryjny D-2399 z sondą pomiarową pola elektrycznego typu EF9091 nr seryjny A-0150 pracującą w paśmie 80MHz – 90GHz. Dolna granica akredytowanego zakresu pomiarowego wynosi 0,8 V/m. Świadectwo wzorcowania nr LWiMP/W/019/22 z dnia 19 stycznia 2022 r. wydane przez Laboratorium Wzorców i Metrologii Pola Elektromagnetycznego, Politechnika Wroclawska.

3.2. Miernik temperatury i wilgotności względnej powietrza

Termohigrometr firmy AZ Instrument Corp. typu AZ 8703 o numerze seryjnym 9614101. Świadectwo wzorcowania nr 0395/AH/22 wydane dnia 24 lutego 2022 r. przez Laboratorium Pomiarowe 'MUTECH'

3.3. Dalmierz laserowy

Dalmierz laserowy produkcji firmy Hilti, typ PD-32 o numerze seryjnym 06106485. Nr Świadectwa wzorcowania 0667/AM/22. Data wzorcowania 01.03.2022 r.

3.4. Wyznaczanie współrzędnych geograficznych

Współrzędne geograficzne pionów pomiarowych wyznaczone są za pomocą aplikacji GPS Coordintaes oraz za pomocą własnego oprogramowania do obliczania współrzędnych geograficznych.

4. PODSTAWA PRAWNA

Rozporządzenie Ministra Zdrowia z dnia 17 grudnia 2019 r. w sprawie dopuszczalnych poziomów pól elektromagnetycznych w środowisku (Dz. U. 2019 poz. 2448).

Rozporządzenie Ministra Klimatu z dnia 17 lutego 2020 r. w sprawie sposobów sprawdzania dotrzymania dopuszczalnych poziomów pól elektromagnetycznych w środowisku (Dz. U. 2022 poz. 2630).

Ustawa z dnia z dnia 27 kwietnia 2001 r. Prawo ochrony środowiska (t.j. Dz.U. 2022 poz. 2556).

Ustawa z dnia 16 kwietnia 2020 r. o szczególnych instrumentach wsparcia w związku z rozprzestrzenianiem się wirusa SARS-CoV-2 (Dz. U. 2023 poz. 201).

Dokument DAB-18 "Akredytacja laboratoriów badawczych wykonujących pomiary pola elektromagnetycznego w środowisku, Wydanie 2 z dnia 25.06.2021 r.

5. METODYKA WYKONYWANIA POMIARÓW

Załącznik do rozporządzenia Ministra Klimatu z dnia 17 lutego 2020 r. w sprawie sposobów sprawdzania dotrzymania dopuszczalnych poziomów pól elektromagnetycznych w środowisku (Dz. U. 2022 poz. 2630).

Zgodnie z art. 122a ust. 1b ustawy Prawo ochrony środowiska, pomiarów nie przeprowadza się w lokalach mieszkalnych oraz użytkowych, w związku z obowiązującym obecnie stanem zagrożenia epidemicznego na terenie kraju.

6. WYNIKI POMIARÓW

Niepewność rozszerzona pomiaru składowej elektrycznej wynosi 48,6% przy poziomie ufności 95% i współczynniku rozszerzenia $k=2$.

W przypadku gdy wynik pomiaru uzyskany jako wartość wskazana przez miernik pola elektromagnetycznego jest wartością poniżej dolnej granicy zakresu pomiarowego, stosowane jest oznaczenie „pdg*”. W takim przypadku jest to wynik spoza zakresu akredytacji do obliczenia wyników WME i WMH przyjmuje się wartość skorelowaną z rzeczywistym wynikiem pomiaru jako dolną granicę zakresu pomiarowego.

Tabela nr 1. Zestawienie wyników pomiarów

Nr pionu	Opis pionu pomiarowego ¹	Wartość zmierzona E ²	Wysokość pomiarowa	Wartość obliczona H	Wartość końcowa E ³	Wartość końcowa H ⁴	Wartość wskaźnikowa WME ⁵	Wartość wskaźnikowa WMH ⁶	Współrzędne geograficzne
		[V/m]	[m]	[A/m]	[V/m]	[A/m]	-	-	
1	2	3	4	5	7	8	9	10	11
1	GKP – az. 90°	pdg*	0,3-2	0,002	1,2	0,003	0,04	0,04	54°24'20,1"N 18°38'07,3"E
2	GKP – az. 90°	pdg*	0,3-2	0,002	1,2	0,003	0,04	0,04	54°24'20,1"N 18°38'10,0"E
3	GKP, wzdłuż linii prostej łączącej urządzenia nadawcze z najbliższą zabudową	1,2	2	0,003	1,8	0,005	0,06	0,06	54°24'19,8"N 18°38'13,0"E
4	GKP – az. 90°	1,5	2	0,004	2,2	0,006	0,08	0,08	54°24'20,1"N 18°38'18,7"E
5	GKP – az. 90°	1,2	2	0,003	1,8	0,005	0,06	0,06	54°24'20,2"N 18°38'24,3"E
6	GKP – az. 90°	pdg*	0,3-2	0,002	1,2	0,003	0,04	0,04	54°24'20,1"N 18°38'29,1"E
7	GKP – az. 190°	1,2	2	0,003	1,8	0,005	0,06	0,06	54°24'17,1"N 18°38'05,1"E
8	GKP – az. 190°	1,1	2	0,003	1,6	0,004	0,06	0,06	54°24'14,6"N 18°38'04,4"E
9	GKP – az. 190°	1,8	2	0,005	2,7	0,007	0,10	0,10	54°24'13,3"N 18°38'03,9"E
10	GKP – az. 190°	2,1	2	0,006	3,1	0,008	0,11	0,11	54°24'09,8"N 18°38'03,0"E
11	GKP – az. 190°	1,5	2	0,004	2,2	0,006	0,08	0,08	54°24'06,6"N 18°38'01,9"E
12	GKP – az. 292°	pdg*	0,3-2	0,002	1,2	0,003	0,04	0,04	54°24'20,7"N 18°38'03,8"E
13	GKP – az. 292°	1,2	2	0,003	1,8	0,005	0,06	0,06	54°24'21,8"N 18°37'58,7"E
14	GKP – az. 292°	1,4	2	0,004	2,1	0,006	0,07	0,08	54°24'23,6"N 18°37'51,1"E
15	GKP – az. 292°	1,5	2	0,004	2,2	0,006	0,08	0,08	54°24'24,6"N 18°37'46,9"E
16	GKP – az. 292°	1,2	2	0,003	1,8	0,005	0,06	0,06	54°24'25,7"N 18°37'42,6"E
17	GKP, wzdłuż linii prostej łączącej urządzenia nadawcze z najbliższą zabudową	pdg*	0,3-2	0,002	1,2	0,003	0,04	0,04	54°24'25,7"N 18°37'52,6"E
18	GKP, wzdłuż linii prostej łączącej urządzenia nadawcze z najbliższą zabudową	pdg*	0,3-2	0,002	1,2	0,003	0,04	0,04	54°24'28,0"N 18°37'58,0"E
19	GKP, wzdłuż linii prostej łączącej urządzenia nadawcze z najbliższą zabudową	pdg*	0,3-2	0,002	1,2	0,003	0,04	0,04	54°24'28,8"N 18°38'07,4"E

Nr pionu	Opis pionu pomiarowego ¹	Wartość zmierzona E ²	Wysokość pomiarowa	Wartość obliczona H	Wartość końcowa E ^{3,4}	Wartość końcowa H ^{5,6}	Wartość wskaźnikowa WME ⁷	Wartość wskaźnikowa WMH ⁸	Współrzędne geograficzne
		[V/m]	[m]	[A/m]	[V/m]	[A/m]	-	-	
1	2	3	4	5	7	8	9	10	11
20	GKP, wzdłuż linii prostej łączącej urządzenia nadawcze z najbliższą zabudową	pdg*	0,3-2	0,002	1,2	0,003	0,04	0,04	54°24'24,0"N 18°38'07,4"E
21	GKP, wzdłuż linii prostej łączącej urządzenia nadawcze z najbliższą zabudową	1	2	0,003	1,5	0,004	0,05	0,05	54°24'21,8"N 18°38'12,6"E
22	GKP, wzdłuż linii prostej łączącej urządzenia nadawcze z najbliższą zabudową	0,9	2	0,002	1,3	0,004	0,05	0,05	54°24'24,8"N 18°38'17,1"E
23	GKP, wzdłuż linii prostej łączącej urządzenia nadawcze z najbliższą zabudową	1,1	2	0,003	1,6	0,004	0,06	0,06	54°24'23,4"N 18°38'23,5"E
24	GKP, wzdłuż linii prostej łączącej urządzenia nadawcze z najbliższą zabudową	1,3	2	0,003	1,9	0,005	0,07	0,07	54°24'19,3"N 18°38'24,5"E
25	GKP, wzdłuż linii prostej łączącej urządzenia nadawcze z najbliższą zabudową	pdg*	0,3-2	0,002	1,2	0,003	0,04	0,04	54°24'18,5"N 18°38'20,2"E
26	GKP, wzdłuż linii prostej łączącej urządzenia nadawcze z najbliższą zabudową	pdg*	0,3-2	0,002	1,2	0,003	0,04	0,04	54°24'16,3"N 18°38'20,0"E
27	GKP, wzdłuż linii prostej łączącej urządzenia nadawcze z najbliższą zabudową	pdg*	0,3-2	0,002	1,2	0,003	0,04	0,04	54°24'14,3"N 18°38'24,7"E
28	GKP, wzdłuż linii prostej łączącej urządzenia nadawcze z najbliższą zabudową	pdg*	0,3-2	0,002	1,2	0,003	0,04	0,04	54°24'16,1"N 18°38'12,9"E
29	GKP, wzdłuż linii prostej łączącej urządzenia nadawcze z najbliższą zabudową	pdg*	0,3-2	0,002	1,2	0,003	0,04	0,04	54°24'13,5"N 18°38'15,9"E
30	GKP, wzdłuż linii prostej łączącej urządzenia nadawcze z najbliższą zabudową	1	2	0,003	1,5	0,004	0,05	0,05	54°24'10,7"N 18°38'19,1"E
31	GKP, wzdłuż linii prostej łączącej urządzenia nadawcze z najbliższą zabudową	2,7	2	0,007	4,0	0,011	0,14	0,15	54°24'08,3"N 18°38'15,3"E
32	GKP, wzdłuż linii prostej łączącej urządzenia nadawcze z najbliższą zabudową	2,1	2	0,006	3,1	0,008	0,11	0,11	54°24'12,2"N 18°38'08,6"E
33	GKP, wzdłuż linii prostej łączącej urządzenia nadawcze z najbliższą zabudową	3,3	2	0,009	4,9	0,013	0,18	0,18	54°24'14,3"N 18°38'06,6"E
34	GKP, wzdłuż linii prostej łączącej urządzenia nadawcze z najbliższą zabudową	1,6	2	0,004	2,4	0,006	0,08	0,09	54°24'12,0"N 18°37'57,5"E
35	GKP, wzdłuż linii prostej łączącej urządzenia nadawcze z najbliższą zabudową	1,4	2	0,004	2,1	0,006	0,07	0,08	54°24'14,8"N 18°38'01,0"E
36	GKP, wzdłuż linii prostej łączącej urządzenia nadawcze z najbliższą zabudową	pdg*	0,3-2	0,002	1,2	0,003	0,04	0,04	54°24'18,7"N 18°37'59,0"E
37	GKP, wzdłuż linii prostej łączącej urządzenia nadawcze z najbliższą zabudową	pdg*	0,3-2	0,002	1,2	0,003	0,04	0,04	54°24'17,1"N 18°37'53,2"E
38	GKP, wzdłuż linii prostej łączącej urządzenia nadawcze z najbliższą zabudową	1,1	2	0,003	1,6	0,004	0,06	0,06	54°24'20,3"N 18°37'52,4"E
39	GKP – az. 318°	pdg*	0,3-2	0,002	1,2	0,003	0,04	0,04	54°24'28,1"N 18°37'53,3"E

pdg* - poniżej dolnej granicy zakresu pomiarowego wynoszącej 0,8 V/m (<0,8 V/m)

1 oznaczenia: GKP - główny kierunek pomiarowy, PKP - pomocniczy kierunek pomiarowy, DPP - dodatkowy pion pomiarowy

2 maksymalna wartość chwilowa

3 wartość natężenia pola elektrycznego powiększona o niepewność pomiaru

4 wartość natężenia pola magnetycznego powiększona o niepewność pomiaru

5 dla wyników poniżej czułości zestawu pomiarowego przyjęto niepewność dla minimalnej wartości z zakresu pomiarowego

6 na podstawie rozpoznania źródeł oraz w uzgodnieniu ze Zleceniodawcą, do wyznaczenia wartości wskaźnikowej WME i WMH przyjęto wartości dopuszczalne pola elektrycznego i magnetycznego wynoszące odpowiednio 28 V/m oraz 0,073 A/m

7. STWIERDZENIE ZGODNOŚCI Z WYMAGANIAMI

Rozporządzenie Ministra Zdrowia z dnia 17 grudnia 2019 r. (Dz. U. 2019 poz. 2448) określa zróżnicowane dopuszczalne poziomy pól elektromagnetycznych dla miejsc dostępnych dla ludności. Zgodnie z ww. rozporządzeniem, na podstawie rozpoznania źródeł pól e-m oraz w oparciu o wytyczne zleceńodawcy, dla rozpatrywanej instalacji przyjęto wartości dopuszczalne składowej elektrycznej i magnetycznej wynoszące odpowiednio 28 V/m oraz 0,073 A/m. Za wynik pomiaru przyjęto maksymalną wartość chwilową zgodnie z pkt 11 załącznika do rozporządzenia Ministra Klimatu z dnia 17 lutego 2020 r. (Dz. U. 2022 poz. 2630).

Na podstawie przeprowadzonych pomiarów w dniu 12-06-2023r. stwierdzono, że w obszarze pomiarowym nie występują przekroczenia dopuszczalnych poziomów pól elektromagnetycznych określonych w ww. przepisach. Zgodnie z pkt 25 ppkt 1 oraz pkt 26 załącznika do rozporządzenia Ministra Klimatu z dnia 17 lutego 2020 r. (Dz. U. 2022 poz. 2630) żadna z wartości wskaźnikowych WME i WMH nie przekracza wartości 1.

Załączniki:

1. Lokalizacja obiektu
2. Dokumentacja fotograficzna
3. Rys. 1

KONIEC SPRAWOZDANIA

Bez pisemnej zgody sprawozdanie nie może być powielane inaczej, jak tylko w całości.

W ciągu 14 dni od daty otrzymania sprawozdania przyjmowane są uwagi i zastrzeżenia w formie pisemnej na adres Laboratorium Badawczego.

ZAŁĄCZNIK 1: LOKALIZACJA OBIEKTU

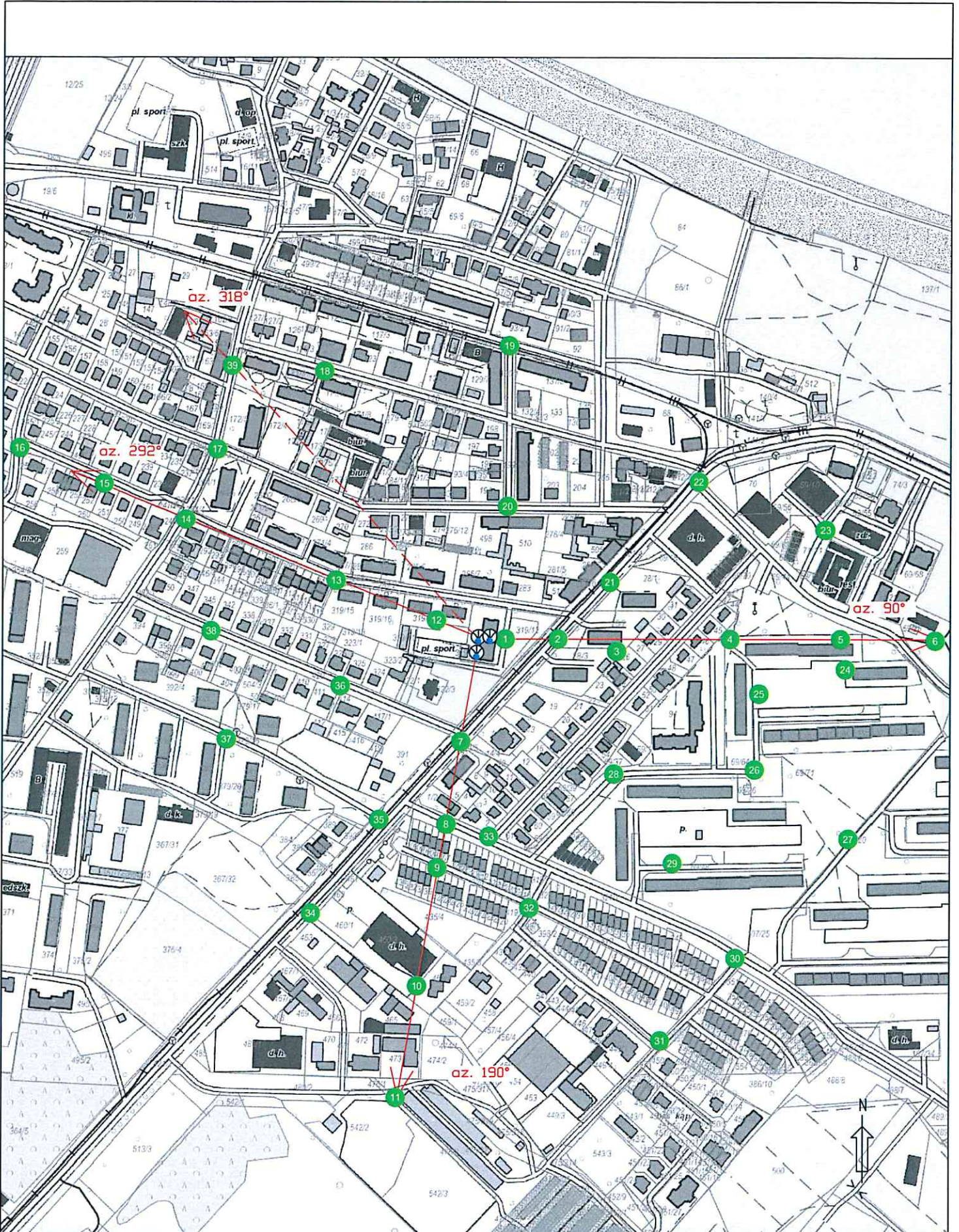


Współrzędne geograficzne obiektu	
długość :	18°38'06.4"E
szerokość :	54°24'20.1"N

ZAŁĄCZNIK 2: DOKUMENTACJA FOTOGRAFICZNA



Rys.1 Lokalizacja pionów pomiarowych



Legenda

● Pion pomiarowy

— Antena sektorowa

- - - Antena paraboliczna



Instalacja będąca źródłem pola elektromagnetycznego

skala 1:3000